

東洋大学工学部 正員 高田泰信

" 正員 新延泰生

" ○正員 林俊一

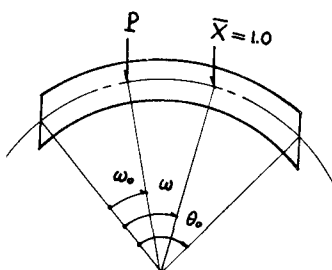
1. まえがき 最近の道路橋は、橋そのものが道路であるという観点から、最も理想的な道路線形に合致させた構造をもつて橋が作製されている。特に曲線橋は高速道路が多く、連続梁及びラーメンなどの滑組構造で支えられ反扇形平板が多くみられる。本考察においては、支点条件が変化した場合、曲線橋にどのような影響を及ぼすかと、これを観察するために行なったものである。まず簡単の為に直角の小さな桁橋を参考桁として計算を進め、半径方向に支点を設けた時と、平行支承を設けた場合について、設計に際し支点附近の曲げモーメント及びねじりモーメントをどれくらいすればよいかを比較検討し設計に役立てることを目的とした。計算するにあたり、3径間連続曲線橋として、曲線橋の断面形状を箱ゲタ中空断面とし単純ねじりの理論を用いて初等的に取り扱つた。

## 2. 理論解析

## I 平行支承を設けた場合

基本系として静定基本系を選び。静定曲線桁橋とは一端はネジレ及びモーメントに対して単純支持とし、他端はモーメントに対しては単純支持でネジレに対しては抵抗するものとする。

i) 垂直荷重  $P$  が任意角  $\omega_0$  に作用したときの任意角  $\omega$  における垂直変位  $f_P$  を求めよ。



$$V_A = \frac{\sin(\theta_0 - \omega_0 - \beta) + \sin\beta}{\sin(\theta_0 - \beta) + \sin\beta} P$$

$$0 < \theta \leq \omega_0 \quad M_n = V_A a \sin \theta, \quad M_{t1} = V_A a (1 - \cos \theta)$$

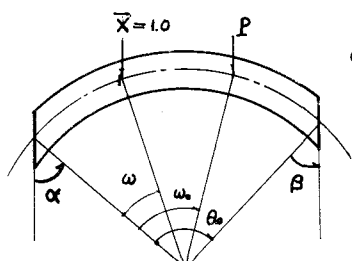
$$\omega_0 \leq \theta \leq \theta_0 \quad M_{n1} = V_A a \sin \theta - Pa \sin(\theta - \omega_0)$$

$$M_{t2} = V_A a (1 - \cos \theta) - Pa \{ 1 - \cos(\theta - \omega_0) \}$$

$$0 < \theta \leq \omega \quad \bar{M}_{n1} = \bar{V}_A a \sin \theta, \quad \bar{M}_{t1} = \bar{V}_A a (1 - \cos \theta)$$

$$\omega \leq \theta \leq \theta_0 \quad \bar{M}_{n2} = \bar{V}_A a \sin \theta - a \sin(\theta - \omega)$$

$$\bar{M}_{t2} = \bar{V}_A a (1 - \cos \theta) - a \{ 1 - \cos(\theta - \omega) \}$$

(1)  $\omega < \omega_0$  のとき

$$f_{MP} = \int_0^{\omega} \frac{\bar{M}_{n1} M_{n1}}{EI} ds + \int_{\omega}^{\omega_0} \frac{M_{n1} \bar{M}_{t1}}{EI} ds + \int_{\omega_0}^{\theta_0} \frac{M_{n2} \bar{M}_{t2}}{EI} ds$$

$$f_{TP} = \int_0^{\omega} \frac{M_{t1} \bar{M}_{t1}}{GJ} ds + \int_{\omega}^{\omega_0} \frac{M_{t1} \bar{M}_{t2}}{GJ} ds + \int_{\omega_0}^{\theta_0} \frac{M_{t2} \bar{M}_{t2}}{GJ} ds$$

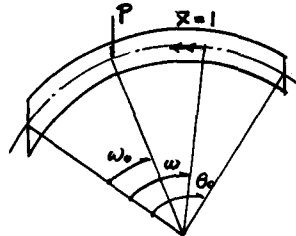
(2)  $\omega_0 < \omega < \theta_0$  のとき

$$f_{MP} = \int_0^{\omega_0} \frac{M_n \bar{M}_n}{EI} ds + \int_{\omega_0}^{\omega} \frac{M_{t2} \bar{M}_{t2}}{EI} ds + \int_{\omega}^{\theta_0} \frac{M_n \bar{M}_n}{EI} ds$$

$$f_{TP} = \int_0^{\omega_0} \frac{M_{t2} \bar{M}_{t2}}{GJ} ds + \int_{\omega_0}^{\omega} \frac{M_{t2} \bar{M}_{t2}}{GJ} ds + \int_{\omega}^{\theta_0} \frac{M_{t2} \bar{M}_{t2}}{GJ} ds$$

ii) 垂直荷重 P が任意角  $\omega$  で作用するときの任意角  $\omega$  におけるねじれ角  $\theta_p$  を求める。

仮想トルク  $\bar{X} = 1.0$ .



$$0 \leq \theta \leq \omega \text{ のとき } M_{n1} = 0, \bar{M}_{t1} = 0$$

$$\omega \leq \theta \leq \theta_0 \text{ のとき } M_{t2} = \sin(\alpha - \omega), \bar{M}_{t2} = \cos(\alpha - \omega)$$

$$\theta_p = \theta_{MP} + \theta_{TP}, \quad \theta_{MP} = \int_0^{\theta_0} \frac{M_n \bar{M}_n}{EI} ds, \quad \theta_{TP} = \int_0^{\theta_0} \frac{M_{t2} \bar{M}_{t2}}{GJ} ds$$

$$0 \leq \theta \leq \omega_0$$

$$0 \leq \theta \leq \omega_0 \quad M_n = T_A \alpha \sin \theta, \quad \bar{M}_{t1} = T_A \alpha (1 - \cos \theta)$$

$$\omega_0 \leq \theta \leq \theta_0 \quad M_{t2} = T_A \alpha \sin \theta - P \alpha \sin(\theta - \omega_0)$$

$$\bar{M}_{t2} = T_A \alpha (1 - \cos \theta) - P \alpha \{ 1 - \cos(\theta - \omega_0) \}$$

(1)  $\omega < \omega_0$  のとき

$$\theta_{MP} = 0.$$

$$\theta_{TP} = \int_{\omega_0}^{\omega_0} \frac{\bar{M}_{t2} M_{t2}}{GJ} ds + \int_{\omega_0}^{\theta_0} \frac{\bar{M}_{t2} \bar{M}_{t2}}{GJ} ds$$

(2)  $\omega_0 < \omega < \theta_0$  のとき

$$\theta_p = \int_{\omega_0}^{\omega} \frac{\bar{M}_{t2} M_{t2}}{GJ} ds + \int_{\omega}^{\theta_0} \frac{\bar{M}_{t2} \bar{M}_{t2}}{GJ} ds$$

iii) トルク T が任意角  $\omega_0$  で作用するときの任意角  $\omega$  におけるねじれ角  $\theta_T$  を求める。

$$0 \leq \theta \leq \omega_0 \text{ のとき } M_n = 0, M_{t1} = 0$$

$$\omega_0 \leq \theta \leq \theta_0 \text{ のとき } M_{t2} = T \sin(\alpha - \omega_0), \quad \bar{M}_{t2} = T \cos(\alpha - \omega_0)$$

$$0 \leq \theta \leq \omega \text{ のとき } M_{n1} = 0, \bar{M}_{t1} = 0$$

$$\omega \leq \theta \leq \theta_0 \text{ のとき } \bar{M}_{t2} = \sin(\alpha - \omega), \quad \bar{M}_{t2} = \cos(\alpha - \omega)$$

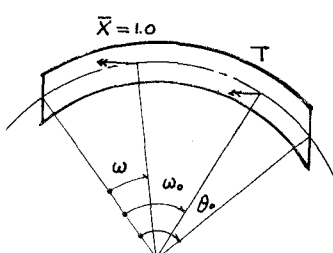
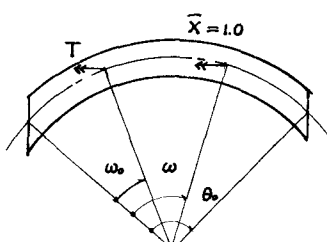
$$\theta_T = \theta_{MT} + \theta_{TT}, \quad \theta_{MT} = \int_0^{\theta_0} \frac{M_n \bar{M}_n}{EI} ds, \quad \theta_{TT} = \int_0^{\theta_0} \frac{M_{t2} \bar{M}_{t2}}{GJ} ds$$

(1)  $\omega < \omega_0$  のとき

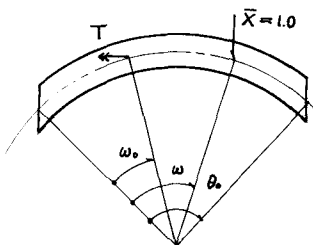
$$\theta_{MT} = \int_{\omega_0}^{\theta_0} \frac{M_n \bar{M}_n}{EI} ds \quad \theta_{TT} = \int_{\omega_0}^{\theta_0} \frac{M_{t2} \bar{M}_{t2}}{GJ} ds$$

(2)  $\omega_0 \leq \omega \leq \theta_0$  のとき

$$\theta_{MT} = \int_{\omega}^{\theta_0} \frac{M_n \bar{M}_n}{EI} ds \quad \theta_{TT} = \int_{\omega}^{\theta_0} \frac{M_{t2} \bar{M}_{t2}}{GJ} ds$$

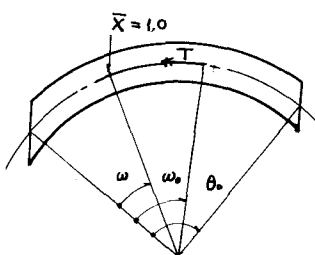


IV) トルク T が任意角  $\omega_0$  作用するときの任意角  $\omega$  における垂直変位  $f_T$  を求める。



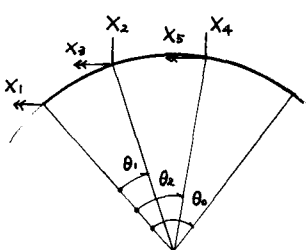
$$\begin{aligned} & 0 \leq \theta \leq \omega_0 & M_{r1} = 0, \quad M_{t1} = 0 \\ & \omega_0 \leq \theta \leq \theta_0 & M_{r2} = T \sin(\alpha - \theta), \quad M_{t2} = T \cos(\alpha - \theta) \\ & 0 \leq \theta \leq \omega & M_{r1} = \bar{V}A \sin \theta, \quad M_{t1} = \bar{V}A \alpha \sin \theta \\ & \omega \leq \theta \leq \theta_0 & M_{r2} = \bar{V}A \alpha \sin \theta - A \sin(\theta - \omega) \\ & & M_{t2} = \bar{V}A \alpha (1 - \cos \theta) - A \{1 - \cos(\theta - \omega)\} \end{aligned}$$

$$f_T = f_{MT} + f_{TT} \quad f_{MT} = \int_{\omega_0}^{\theta_0} \frac{M_{r1} M_{t1}}{EI} d\theta, \quad f_{TT} = \int_{\omega_0}^{\theta_0} \frac{M_{t2} M_{r2}}{GJ} d\theta$$



$$(1) \quad \omega < \omega_0 \text{ のとき} \quad f_{MT} = \int_{\omega_0}^{\theta_0} \frac{M_{r1} M_{t1}}{EI} d\theta, \quad f_{TT} = \int_{\omega_0}^{\theta_0} \frac{M_{t2} M_{r2}}{GJ} d\theta$$

$$(2) \quad \omega_0 \leq \omega \leq \theta_0 \text{ のとき} \quad f_{MT} = \int_{\omega}^{\theta_0} \frac{M_{r1} M_{t1}}{EI} d\theta, \quad f_{TT} = \int_{\omega}^{\theta_0} \frac{M_{t2} M_{r2}}{GJ} d\theta$$



$$\theta'_{11} X_1 + \theta_{21} X_2 + \theta_{31} X_3 + \theta_{41} X_4 + \theta'_{51} X_5 + \theta_{51} = 0 \quad (1)$$

$$\delta'_{11} X_1 + \delta_{21} X_2 + \delta'_{31} X_3 + \delta_{41} X_4 + \delta'_{51} X_5 + \delta_{51} = 0 \quad (2)$$

$$\theta'_{12} X_1 + \theta_{22} X_2 + \theta'_{32} X_3 + \theta_{42} X_4 + \theta'_{52} X_5 + \theta_{52} = 0 \quad (3)$$

$$\delta'_{12} X_1 + \delta_{22} X_2 + \delta'_{32} X_3 + \delta_{42} X_4 + \delta'_{52} X_5 + \delta_{52} = 0 \quad (4)$$

$$\theta'_{13} X_1 + \theta_{23} X_2 + \theta'_{33} X_3 + \theta_{43} X_4 + \theta'_{53} X_5 + \theta_{53} = 0 \quad (5)$$

但し:  $\delta_{ij} : P_i = 1.0$  とする  $j$  番の変位, 其の方向は  $i$  番に作用する  $P_i$  の方向。

$\delta'_{ij} : T_i = 1.0$  とする  $j$  番の垂直変位。

$\theta_{ij} : P_i = 1.0$  とする  $j$  番の角変位, その方向は  $\theta'_{ij}$  と同じ方向。

$\theta'_{ij} : T_i = 1.0$  とする  $j$  番の角変位, その方向は  $i$  番に作用する  $T_i$  の方向。

$$\theta'_{11} = \frac{1}{EI} \int_{\theta_1}^{\theta_0} \sin^2(\alpha - \theta) a d\theta + \frac{1}{GJ} \int_{\theta_1}^{\theta_0} \cos^2(\alpha - \theta) a d\theta$$

$$\theta_{21} = \left[ a(\theta_1) \int_{\theta_1}^{\theta_0} \sin(\alpha - \theta) \sin \theta d\theta - \int_{\theta_1}^{\theta_0} \sin(\alpha - \theta) \sin(\theta - \theta_1) d\theta + k \{ a(\theta_1) \int_{\theta_1}^{\theta_0} (1 - \cos \theta)^2 d\theta - \int_{\theta_1}^{\theta_0} \cos(\alpha - \theta) \{1 - \cos(\theta - \theta_1)\} d\theta\} \right] \frac{Pa^2}{EI}$$

$$\delta_{21} = \left[ \int_{\theta_1}^{\theta_0} a(\theta) \sin^2 \theta d\theta + \int_{\theta_1}^{\theta_0} \{a(\theta) \sin \theta - \sin(\theta - \theta_1)\}^2 d\theta + k \int_{\theta_1}^{\theta_0} a(\theta) (1 - \cos \theta)^2 d\theta + \int_{\theta_1}^{\theta_0} \{a(\theta) \{1 - \cos \theta\} - 1 + \cos(\theta - \theta_1)\}^2 d\theta \right] \frac{Pa^2}{GJ}$$

$$\theta'_{12} = \theta'_{21} = \theta'_{22} = \left[ \int_{\theta_1}^{\theta_0} \sin^2(\alpha - \theta) d\theta + k \int_{\theta_1}^{\theta_0} \cos^2(\alpha - \theta) d\theta \right] \frac{Ta}{EI}$$

$$\delta_{22}' = \left[ \int_{\theta_1}^{\theta_2} \{a(\theta_1) \sin \theta - \sin(\theta - \theta_1)\} \sin(\alpha - \theta) d\theta + k \int_{\theta_1}^{\theta_2} \{a(\theta_1)(1 - \cos \theta) - 1 + \cos(\theta - \theta_1)\} \cos(\alpha - \theta) d\theta \right] \frac{T a^2}{EI}$$

$$\begin{aligned} \delta_{32} &= \left[ \int_0^{\theta_1} a(\theta_1) a(\theta_2) \sin^2 \theta d\theta + \int_{\theta_1}^{\theta_2} \{a(\theta_1) \sin \theta - \sin(\theta - \theta_1)\} a(\theta_2) \sin \theta d\theta + \int_{\theta_2}^{\theta_0} \{a(\theta_1) \sin \theta - \sin(\theta - \theta_1)\} \{a(\theta_2) \sin \theta - \sin(\theta - \theta_2)\} d\theta \right] \frac{Pa^3}{EI} \\ &\quad + \left[ \int_{\theta_0}^{\theta_1} a(\theta_1) a(\theta_2) (1 - \cos \theta)^2 d\theta + \int_{\theta_1}^{\theta_2} \{a(\theta_1)(1 - \cos \theta) - 1 + \cos(\theta - \theta_1)\} a(\theta_2)(1 - \cos \theta) d\theta + \int_{\theta_2}^{\theta_0} \{a(\theta_1)(1 - \cos \theta) - 1 + \cos(\theta - \theta_1)\} \times \right. \\ &\quad \left. \{a(\theta_2)(1 - \cos \theta) - 1 + \cos(\theta - \theta_2)\} d\theta \right] \frac{Pa^3}{GJ} = \delta_{23} \end{aligned}$$

$$\begin{aligned} \theta_{31} &= \left[ a(\theta_2) \int_0^{\theta_0} \sin \theta \sin(\alpha - \theta) d\theta - \int_{\theta_2}^{\theta_0} \sin(\alpha - \theta) \sin(\theta - \theta_2) d\theta + k \left\{ a(\theta_2) \int_0^{\theta_0} (1 - \cos \theta)^2 d\theta - \int_{\theta_2}^{\theta_0} \cos(\alpha - \theta) \{1 - \cos(\theta - \theta_2)\} d\theta \right\} \right] \frac{Pa^2}{EI} \\ &= \dot{\theta}_{13}' \end{aligned}$$

$$\theta_{31}' = \theta_{33}' = \theta_{13}' = \left\{ \int_{\theta_2}^{\theta_0} \sin^2(\alpha - \theta) d\theta + k \int_{\theta_2}^{\theta_0} \cos^2(\alpha - \theta) d\theta \right\} \frac{T a}{EI}$$

$$\delta_{32}' = \theta_{23} = \left[ \int_{\theta_1}^{\theta_0} \{a(\theta_1) \sin \theta - \sin(\theta - \theta_1)\} \sin(\alpha - \theta) d\theta + k \int_{\theta_2}^{\theta_0} \{a(\theta_1)(1 - \cos \theta) - 1 + \cos(\theta - \theta_1)\} d\theta \right] \frac{T a^2}{EI}$$

$$\begin{aligned} \theta_{32} &= \dot{\theta}_{23} = \left[ \int_{\theta_1}^{\theta_2} a(\theta_2) \sin \theta \sin(\alpha - \theta) d\theta + \int_{\theta_2}^{\theta_0} \{a(\theta_2) \sin \theta - \sin(\theta - \theta_2)\} \sin(\alpha - \theta) d\theta \right] \frac{Pa^2}{EI} \\ &\quad + \left[ \int_{\theta_1}^{\theta_2} a(\theta_2)(1 - \cos \theta) \cos(\alpha - \theta) d\theta + \int_{\theta_2}^{\theta_0} \{a(\theta_2)(1 - \cos \theta) - 1 + \cos(\theta - \theta_2)\} \times \cos(\alpha - \theta) d\theta \right] \frac{Pa^2}{GJ} \end{aligned}$$

$$\delta_{33}' = \left[ a(\theta_2) \int_{\theta_2}^{\theta_0} \sin \theta \sin(\alpha - \theta) d\theta - \int_{\theta_2}^{\theta_0} \sin(\alpha - \theta) \sin(\theta - \theta_2) d\theta + k \left\{ a(\theta_2) \int_{\theta_2}^{\theta_0} \cos(\alpha - \theta)(1 - \cos \theta) d\theta - \int_{\theta_2}^{\theta_0} \cos(\alpha - \theta) \{1 - \cos(\theta - \theta_2)\} d\theta \right\} \right] \frac{T a^2}{EI}$$

$$S = S_0 + S_2 X_2 + S_4 X_4$$

$$M = M_0 + M_2 X_2 + M_4 X_4 + M_5 X_5$$

$$T = T_0 + T_2 X_2 + T_4 X_4 + T_5 X_5$$

半径方向に支承を設けた場合には上式の弹性方程式において、接線方向に仮想トルク  $\bar{T} = 10$  を作用させれば半径方向のねじれ角があり、支承においてはねじれ角は 0。

両者を比較した数値計算の結果は当面発表致します。